


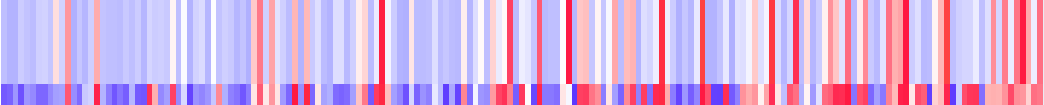
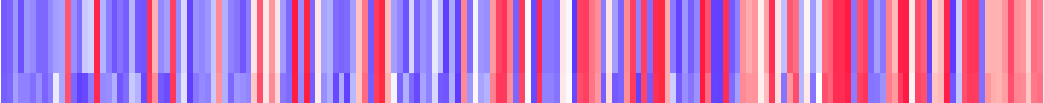
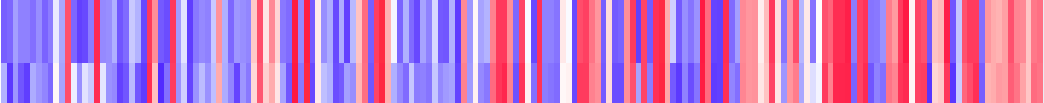
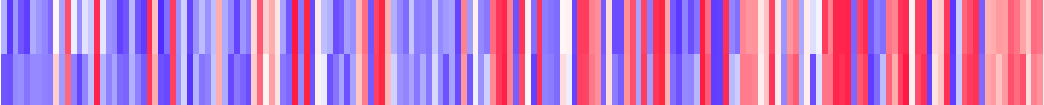
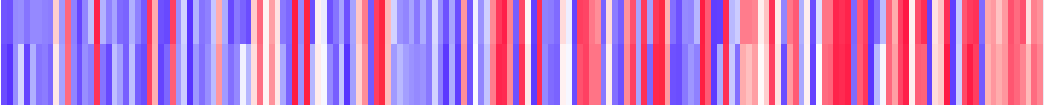
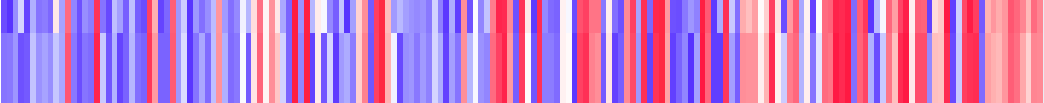
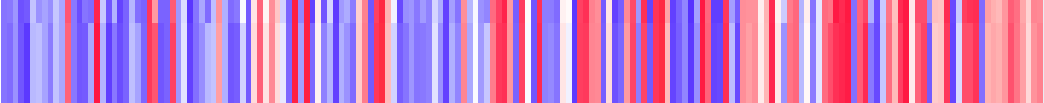
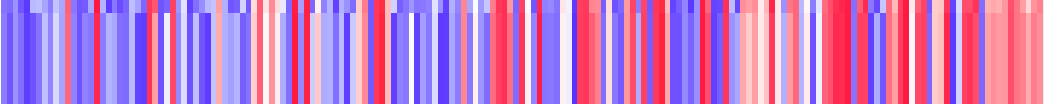
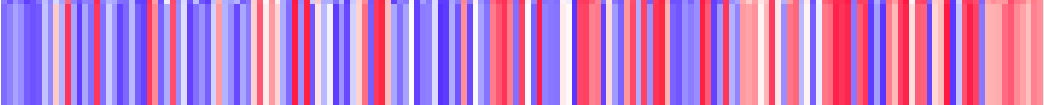
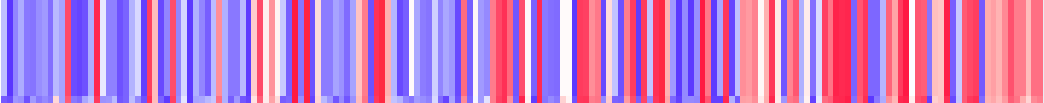
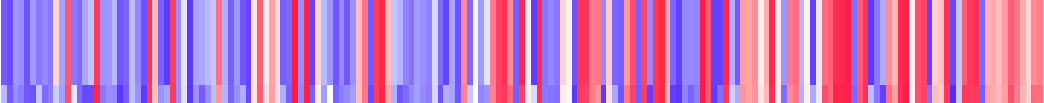
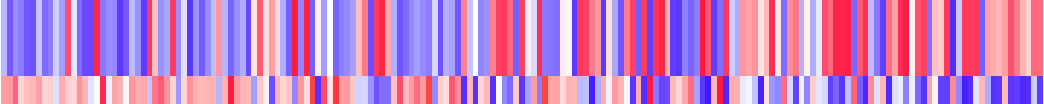
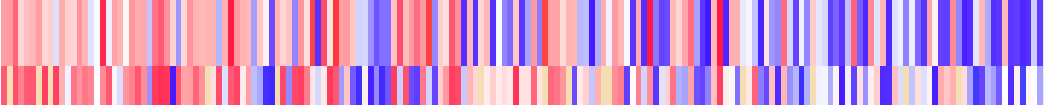

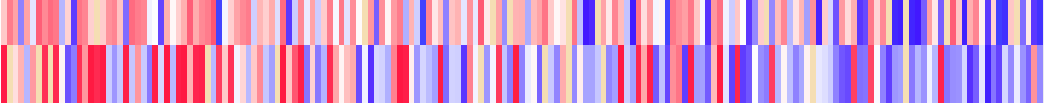
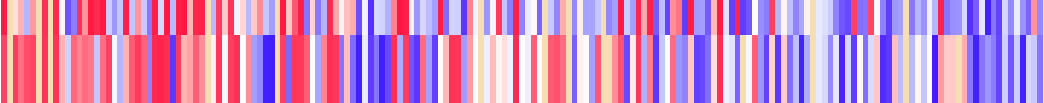
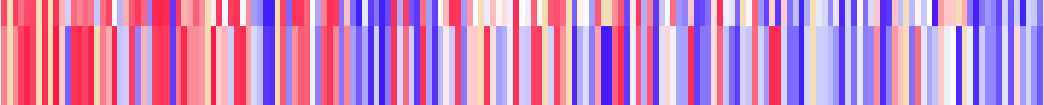
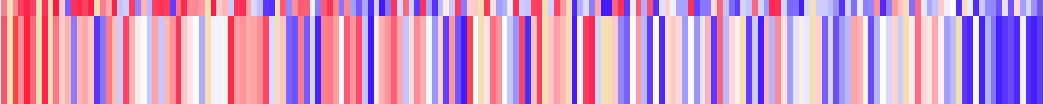
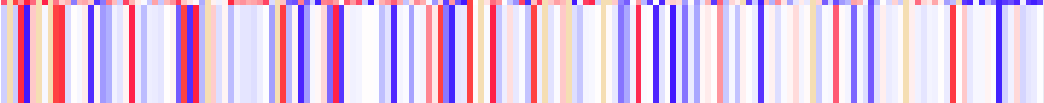
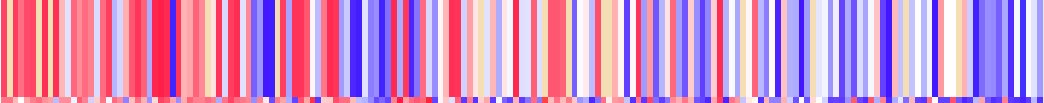
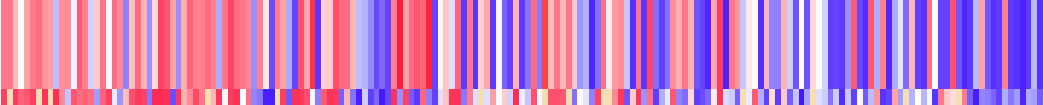
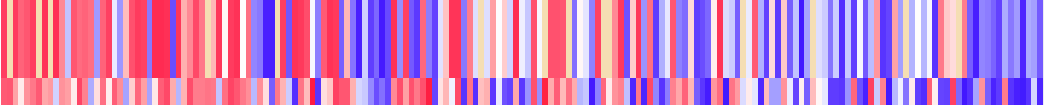
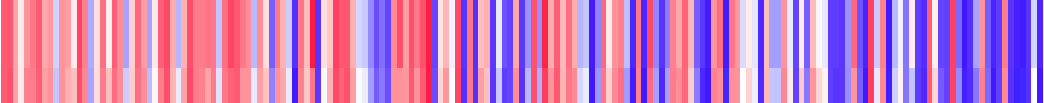
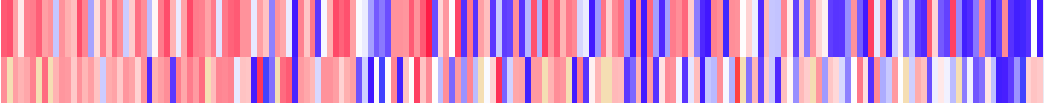
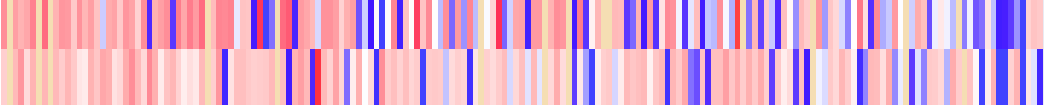





hNSC_G3_150_UP		IC( $\Delta$ )	P-val	FDR
Methotrexate_ALPHA		-0.607(0.098)	1.31e-05	2.00e-02
Z-LLNle-CHO_B		-0.568(0.023)	5.23e-05	3.25e-02
JW-7-52-1_D		-0.562(0.027)	7.85e-05	3.25e-02
BMS-509744_B		-0.556(0.024)	1.44e-04	3.25e-02
A-443654_B		-0.553(0.021)	1.57e-04	3.25e-02
Paclitaxel_B		-0.546(0.026)	2.22e-04	3.25e-02
GNF-2_B		-0.542(0.025)	2.75e-04	3.25e-02
Dasatinib_B		-0.541(0.024)	2.88e-04	3.25e-02
CGP-60474_B		-0.541(0.020)	2.88e-04	3.25e-02
CGP-082996_B		-0.540(0.024)	2.88e-04	3.25e-02
WH-4-023_B		-0.538(0.020)	2.88e-04	3.25e-02
Sunitinib_B		-0.537(0.023)	3.01e-04	3.25e-02
JW-7-52-1_B		-0.536(0.020)	3.14e-04	3.25e-02
WZ-1-84_B		-0.533(0.022)	3.40e-04	3.25e-02
BI-2536_B		-0.533(0.024)	3.40e-04	3.25e-02
Dasatinib_IC_75		0.493(0.020)	1.41e-03	1.27e-01
RDEA119_IC_50_LOW		0.495(0.019)	1.28e-03	1.27e-01
Lapatinib_IC_50_HIGH		0.499(0.030)	1.06e-03	1.25e-01
17-AAG_IC_50_HIGH		0.508(0.025)	7.85e-04	1.00e-01
RDEA119_IC_50		0.509(0.019)	7.72e-04	1.00e-01
CI-1040_IC_50_HIGH		0.511(0.017)	7.46e-04	1.00e-01
NVP-BEZ235_ALPHA		0.534(0.024)	2.62e-04	4.44e-02
ABT-263_ALPHA		0.556(0.109)	1.18e-04	2.25e-02
RDEA119_IC_25		0.556(0.020)	1.18e-04	2.25e-02
Dasatinib_IC_50_HIGH		0.561(0.023)	9.16e-05	2.25e-02
RDEA119_IC_50_HIGH		0.564(0.021)	7.85e-05	2.25e-02
Dasatinib_IC_50		0.564(0.024)	7.85e-05	2.25e-02
Dasatinib_IC_50_LOW		0.569(0.026)	5.23e-05	2.25e-02
PD-0325901_ALPHA		0.571(0.021)	5.23e-05	2.25e-02
BIBW2992_ALPHA		0.584(0.033)	2.62e-05	2.25e-02